

ЭЛЕКТРОННЫЙ ТРАНСПОРТ ЧЕРЕЗ МИКРОСУЖЕНИЕ В ПРОИЗВОЛЬНО ОРИЕНТИРОВАННОМ ОДНОРОДНОМ МАГНИТНОМ ПОЛЕ

Н. Г. Галкин, В. А. Гейлер, В. А. Маргулис*

*Мордовский государственный университет им. Н. П. Огарева
430000, Саранск, Россия*

Поступила в редакцию 14 июля 1999 г.

Рассмотрен баллистический электронный транспорт в трехмерных микросужениях с эллиптическим сечением, помещенных в произвольно ориентированное магнитное поле. В модели параболического потенциала конфайнмента получена и исследована зависимость гибридных частот от величины и направления магнитного поля. Найдено разложение кондактанса в ряд Фурье, на основе которого исследованы осцилляции Ааронова—Бома и Шубникова—де Гааза в зависимости от поля и ступенчатая структура квантования кондактанса. Дано возможное объяснение экспериментально наблюдаемого эффекта — квантование кондактанса при достаточно высоких температурах.

PACS: 72.10.-d, 72.10.Fk

1. ВВЕДЕНИЕ

Баллистический электронный транспорт в трехмерных микросужениях (точечных контактах) вызывает в последние годы растущий интерес [1–9] в связи с экспериментальным обнаружением в таких системах эффекта квантования кондактанса даже при комнатных температурах. Свойства трехмерных (3D) микросужений существенно отличаются от свойств двумерных (2D) микросужений [10, 11], в которых первоначально было обнаружено квантование кондактанса. Характер квантования кондактанса в 3D-микросужениях существенно зависит от формы поперечного сечения, а также от длины контакта [7]. В частности, в симметричном сужении (круговое сечение) высота ступени квантования кондактанса, измеренная в единицах кванта кондактанса $G_0 = 2e^2/h$, пропорциональна степени вырождения уровней поперечной энергии [7]. Приложенное магнитное поле \mathbf{V} изменяет транспортный режим сужения. Это обусловлено тем обстоятельством, что поле изменяет электронный конфайнмент и может усиливать (в случае эллиптического сечения) или вызывать (для круго-

вого сечения) эффективную анизотропию поперечного сечения сужения. В [7] на основе обобщенной формулы Бюттикера—Ландауэра (в основном численными методами) исследовался кондактанс 3D-микросужения в случаях продольного и поперечного магнитных полей, а также в частном случае наклонного магнитного поля (поле лежит в плоскости yz , т. е. $\mathbf{V} = (0, B_y, B_z)$). При этом численные результаты показывают, что изменение формы поперечного сечения, величины и направления поля \mathbf{V} ведут к изменению электронного транспортного режима. Из полученных в [7] графиков зависимости кондактанса G от поля \mathbf{V} следует, что в случае продольного магнитного поля могут возникать осцилляции типа Ааронова—Бома и Шубникова—де Гааза. Характер этих осцилляций сильно зависит от величины магнитного поля. Длина микросужения, как отмечено в [7], также сильно влияет на транспортный режим. В частности, данные численного анализа указывают, что эффект квантования кондактанса (ступенчатая структура) и осцилляции Ааронова—Бома могут исчезать в коротких микросужениях.

*E-mail: geyler@mrsu.ru

Отметим, что удобной моделью потенциала геометрического конфайнмента, которая позволяет учесть как роль формы микросужения, так и влияния величины и направления магнитного поля, является потенциал типа «мягкой стенки». Этот потенциал использовался в [10, 11] для $2D$ -сужений и в [7] для $3D$ -сужений. Такой потенциал характеризует как форму поперечного сечения сужения, так и ее протяженность. Это обстоятельство очень важно, поскольку в баллистическом режиме именно геометрия микросужения является источником сопротивления.

Вблизи узкого горла сужения произвольный гладкий потенциал геометрического конфайнмента во втором порядке по координатам (x, y, z) представляется в виде

$$V(x, y, z) = V_0 + \frac{1}{2}m^*(\omega_x^2 x^2 + \omega_y^2 y^2 - \omega_z^2 z^2). \quad (1)$$

Здесь V_0 — потенциал в седловой точке сужения, m^* — эффективная масса электрона, z — координата вдоль оси сужения. Частота ω_z определяется длиной микросужения l : $\omega_z = \hbar/m^*l^2$. Сечение микросужения аппроксимируется с точностью до членов второго порядка эллипсом с полуосями

$$a = \frac{1}{2}\sqrt{\frac{\hbar}{m^*\omega_x}}, \quad b = \frac{1}{2}\sqrt{\frac{\hbar}{m^*\omega_y}}.$$

Гамильтониан одноэлектронных состояний в приложенном постоянном и однородном магнитном поле $\mathbf{B} = (B_x, B_y, B_z)$ имеет вид

$$H = \frac{1}{2m^*} \left(\mathbf{p} - \frac{e}{c}\mathbf{A} \right)^2 + V(x, y, z), \quad (2)$$

где \mathbf{A} — векторный потенциал поля \mathbf{B} . Для \mathbf{A} выбираем следующую калибровку:

$$\mathbf{A} = \left(\frac{1}{2}B_y z - B_z y \right) \mathbf{i} + \left(B_x y - \frac{1}{2}B_y x \right) \mathbf{k}. \quad (3)$$

Поворотом осей в фазовом пространстве можно привести квадратичный гамильтониан (2) к диагональному виду. Тогда этот гамильтониан примет тот же вид, что и в отсутствие магнитного поля, но с другими частотами эффективного потенциала:

$$H = \frac{1}{2m^*}\mathbf{P}^2 + \frac{m^*}{2}(\omega_1^2 Q_1^2 + \omega_2^2 Q_2^2 - \Omega^2 Q_3^2), \quad (4)$$

где \mathbf{P}, Q — новые фазовые переменные. Новые характерные частоты ω_1, ω_2 и Ω являются функциями величины и направления поля \mathbf{B} .

Вероятность прохождения из моды с квантовыми числами (m, n) в моду с (m', n') определяется обобщенной формулой Бюттикера [12] и имеет вид

$$T_{m,n;m',n'} = \delta_{mm'}\delta_{nn'} [1 + \exp(-2\pi\varepsilon_{mn})]^{-1}, \quad (5)$$

где $\varepsilon_{mn} = (E - V_0 - E_{mn})/\hbar\Omega$, квантовые числа осцилляторов m и $n = 0, 1, 2, \dots$, энергия движения электрона в плоскости $Q_1 Q_2$ равна $E_{mn} = \hbar\omega_1(m + 1/2) + \hbar\omega_2(n + 1/2)$, E — общая энергия электрона.

Эффекты электронного туннелирования через эффективный потенциал

$$V_{eff}(z) = V_0 + E_{mn} - m^*\Omega^2 z^2/2$$

приводят к смазыванию пороговой энергии $V_{eff}(0)$, что, в свою очередь, приводит к тому, что вероятность прохождения через каналы с $E < V_{eff}(0)$ отлична от нуля [7]. Сравнение множителя в квадратных скобках в (5) с распределением Ферми $f_0(E)$ показывает, что величина $\hbar\Omega/2\pi$ играет ту же роль, что и температура в распределении Ферми, т. е. размывает пороговую энергию электрона.

Кондактанс $3D$ -сужения при $T \neq 0$ задается формулой

$$G(T) = \int_0^\infty dE \left(-\frac{\partial f_0}{\partial E} \right) G(T=0), \quad (6)$$

где $G(T=0)$ определяется выражением типа Ландауэра:

$$\frac{G(T=0)}{G_0} = \sum_{m,n=0}^\infty [1 + \exp(-2\pi\varepsilon_{mn})]^{-1}. \quad (7)$$

На основании сказанного выше о смазывании пороговой энергии верхний предел в суммах (7) по m и n равен бесконечности.

Наличие в (7) двойной суммы по квантовым числам m, n и интеграла по энергии в (6) затрудняет прямое использование этих выражений для аналитического исследования кондактанса $3D$ -сужения (в отличие от случая нанопроволоки постоянного сечения, где нет размазки пороговой энергии в (7) и суммы легко вычисляются). По-видимому, в связи с этим в [7] кондактанс далее исследовался с помощью (6) и (7) численными методами. При этом общий случай, когда $\mathbf{B} = (B_x, B_y, B_z)$ в [7] вообще не рассматривался.

Отметим важное для дальнейшего наблюдение. Формула (7) аналогична магнитному отклику вырожденного газа двумерных осцилляторов с температурой $T = \hbar\Omega/2\pi$ и химическим потенциалом

$\mu = E - V_0$. Магнитный отклик такого газа изучен в [13], где удалось просуммировать соответствующие ряды по одному индексу и свести (6) и (7) к одномерному ряду Фурье.

Статья построена следующим образом. В разд. 2 мы определяем в общем случае произвольного магнитного поля $\mathbf{V} = (B_x, B_y, B_z)$ частоты ω_1, ω_2 и Ω через корни некоторого кубического уравнения и строим зависимости этих частот от величины и направления поля. В разд. 3 мы получаем разложение кондактанса 3D-сужения в одномерный ряд Фурье, выделяя монотонную и осциллирующую части кондактанса сужения, т.е. получаем для кондактанса аналог формулы Ландау для магнитного отклика вырожденного газа. В разд. 4 исследуется осциллирующая часть кондактанса и аналитически доказывается существование осцилляций типа Ааронова—Бома и Шубникова—де Гааза в случае продольного поля. В этом же разделе исследован случай поперечного поля, а также ступенчатая структура кондактанса в зависимости от ориентации поля.

2. ДИАГОНАЛИЗАЦИЯ ГАМИЛЬТониАНА

Рассмотрим гамильтониан (2) с потенциалом (1) и магнитным полем $\mathbf{V} = (B_x, B_y, B_z)$, произвольно ориентированном относительно осей x, y и z , где ось z направлена вдоль микросужения, а оси x и y — соответственно вдоль малой и большой осей эллиптического сечения сужения. В фазовом пространстве (p_x, p_y, p_z, x, y, z) гамильтониан (2) задает квадратичную форму с симметричной матрицей шестого порядка

$$M = \frac{1}{2m^*} \begin{pmatrix} 1 & 0 & 0 & 0 & 2B_3 & -B_2 \\ 0 & 1 & 0 & 0 & 0 & 0 \\ 0 & 0 & 1 & B_2 & -2B_1 & 0 \\ 0 & 0 & B_2 & k_1^2 & -2B_1B_2 & 0 \\ 2B_3 & 0 & -2B_1 & -2B_1B_2 & k_2^2 & -2B_2B_3 \\ -B_2 & 0 & 0 & 0 & -B_2B_3 & k_3^2 \end{pmatrix}. \quad (8)$$

Здесь обозначено

$$\begin{aligned} B_1 &= \frac{e}{2c} B_x, & B_2 &= \frac{e}{2c} B_y, & B_3 &= \frac{e}{2c} B_z, \\ k_1^2 &= m^{*2} \omega_x^2 + B_2^2, \\ k_2^2 &= m^{*2} \omega_y^2 + 4B_1^2 + 4B_3^2, \\ k_3^2 &= -m^{*2} \omega_z^2 + B_2^2. \end{aligned} \quad (9)$$

Канонический вид (4) гамильтониана (2) определяется собственными числами матрицы IM , где I — симплектическая единица [14]:

$$I = \begin{pmatrix} 0 & -E \\ E & 0 \end{pmatrix}, \quad (10)$$

$$E = \begin{pmatrix} 1 & 0 & 0 \\ 0 & 1 & 0 \\ 0 & 0 & 1 \end{pmatrix}.$$

Собственные числа λ матрицы M получаются из следующего уравнения шестого порядка

$$(\lambda^2 + \omega_x^2)(\lambda^2 + \omega_y^2)(\lambda^2 - \omega_z^2) + \lambda^2(\lambda^2 + \omega_x^2)\omega_{cx}^2 + \lambda^2(\lambda^2 + \omega_y^2)\omega_{cy}^2 + \lambda^2(\lambda^2 - \omega_z^2)\omega_{cz}^2 = 0, \quad (11)$$

где $\omega_{cj} = eB_j/m^*c, j = x, y, z$.

Положим для определенности $\omega_x \geq \omega_y$ и исследуем кубическое уравнение, которое получится для величины $\xi = \lambda^2$. Обозначим через $P(\xi)$ полином третьей степени от ξ , стоящий в правой части (11). Тогда, очевидно,

$$P(-\infty) = -\infty, \quad P(-\omega_x^2) > 0,$$

$$P(0) < 0, \quad P(\omega_z^2) > 0.$$

Тем самым уравнение $P(\xi) = 0$ имеет три различных корня:

$$\xi_1 \in (-\infty, -\omega_x^2), \quad \xi_2 \in (-\omega_x^2, 0), \quad \xi_3 \in (0, \omega_z^2).$$

Следовательно, симплектическим преобразованием фазового пространства гамильтониан (2) приводится к каноническому виду (4), в котором $\omega_{1,2}^2 = -\xi_{1,2}, \Omega^2 = \xi_3$ [14]. Заметим, что при замене $\omega_z^2 \rightarrow -\omega_z^2$ уравнение $P(\xi) = 0$ переходит в кубическое уравнение для эффективных частот частицы в трехмерной параболической квантовой яме, находящейся в магнитном поле [15]. В весьма частном случае, когда поле \mathbf{V} лежит в одной из координатных плоскостей, гибридные частоты ω_j и Ω были найдены в [7]. Графики зависимостей гибридных частот ω_j от величины и направления поля \mathbf{V} (направление задается углами θ и φ ориентации поля относительно системы координат (x, y, z) , связанной с микросужением) показаны на рис. 1, на котором один из углов фиксирован ($\varphi = \varphi_0$ или $\theta = \theta_0$). Видно, что частоты ω_j зависят как от величины, так и от направления поля, поэтому кондактанс микросужения будет также зависеть от этих величин.

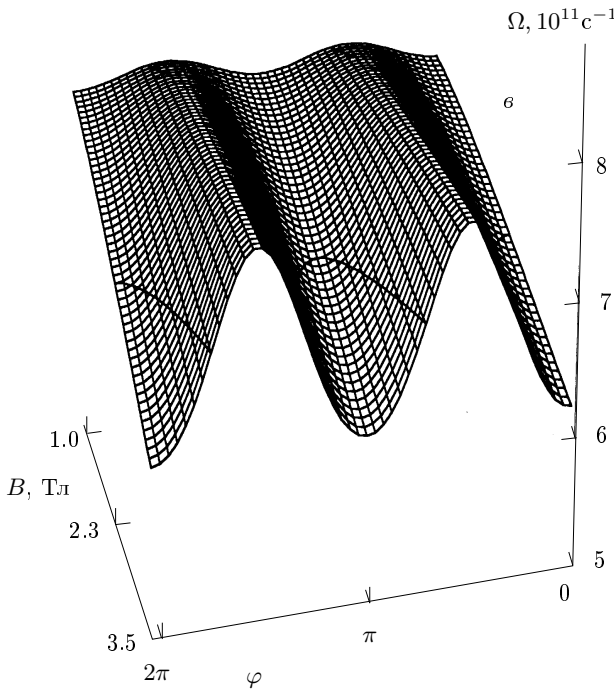
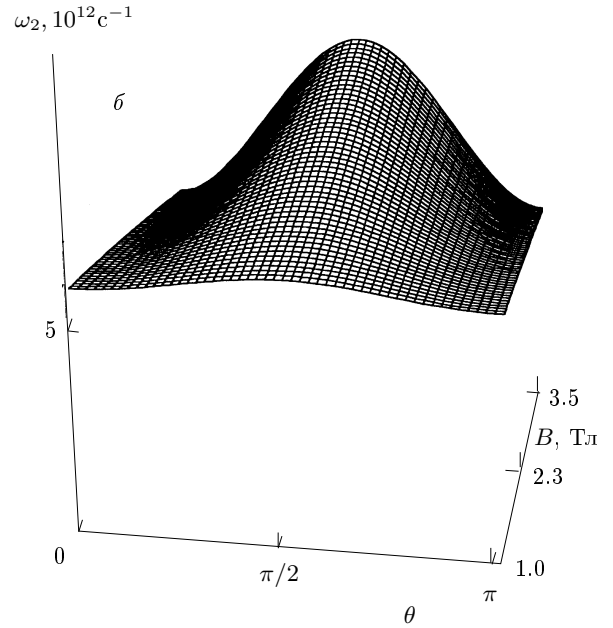
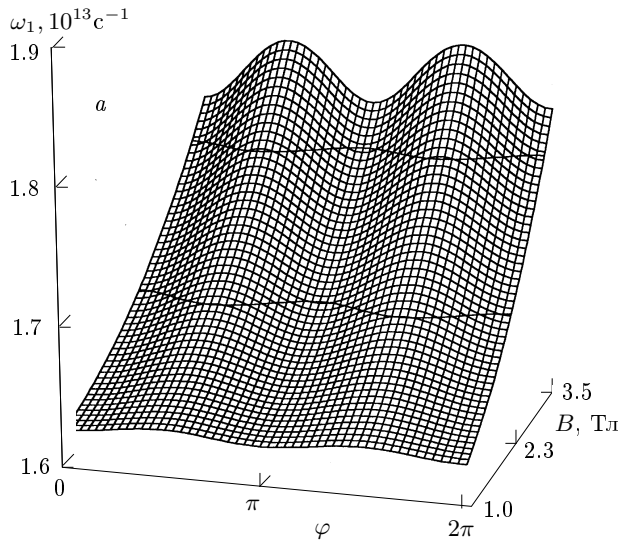


Рис. 1. Зависимости частот $\omega_1, \omega_2, \Omega$ от величины B и направления (φ и θ) магнитного поля; $\omega_x = 1.61 \cdot 10^{13} \text{ c}^{-1}$, $\omega_y = 0.61 \cdot 10^{13} \text{ c}^{-1}$, $\omega_x/\omega_z = 20$, $\varphi_0, \theta_0 = \pi/5.578$

3. РАЗЛОЖЕНИЕ КОНДАКТАНСА В РЯД ФУРЬЕ

Вначале рассмотрим кондактанс микросужения при нулевой температуре. Воспользуемся выражением (7) и введем обозначения $\beta = 2\pi/\hbar\Omega$ и $E - V_0 = \varepsilon$. Тогда

$$\frac{G(T=0)}{G_0} = \sum_{m,n=0}^{\infty} [1 + \exp(-\beta(\varepsilon - E_{mn}))]^{-1}. \quad (12)$$

Как показано в Приложении, имеет место формула

$$\frac{1}{1 + e^x} = \frac{1}{2\pi i} \int_{\alpha - i\infty}^{\alpha + i\infty} \frac{\pi}{\sin \pi p} e^{-px} dp, \quad 0 < \alpha < 1. \quad (13)$$

Положив в (13) $x = \beta(E_{mn} - \varepsilon)$, получим

$$\frac{G(T=0)}{G_0} = \frac{1}{2i} \times \int_{\alpha - i\infty}^{\alpha + i\infty} \frac{d\xi}{\sin \pi \xi} \sum_{m,n=0}^{\infty} \exp[-\xi(E_{mn} - \varepsilon)\beta]. \quad (14)$$

Используя соотношение

$$\sum_{m,n=0}^{\infty} \exp \left\{ -\zeta \left[\hbar\omega_1 \left(m + \frac{1}{2} \right) + \hbar\omega_2 \left(n + \frac{1}{2} \right) \right] \right\} = \left[4 \operatorname{sh} \left(\frac{\hbar\omega_1 \zeta}{2} \right) \operatorname{sh} \left(\frac{\hbar\omega_2 \zeta}{2} \right) \right]^{-1} \quad (15)$$

и вводя $\zeta = \beta\xi$, получим из (14) и (15)

$$\frac{G(T=0)}{G_0} = \frac{1}{8i\beta} \times \int_{\alpha-i\infty}^{\alpha+i\infty} \frac{e^{\varepsilon\zeta} d\zeta}{\sin(\pi\zeta/\beta) \operatorname{sh}(\hbar\omega_1\zeta/2) \operatorname{sh}(\hbar\omega_2\zeta/2)}. \quad (16)$$

Интеграл в (16) можно вычислить, используя контур, замкнутый в левой полуплоскости. Суммируя вычеты внутри контура, получим

$$\frac{G(T=0)}{G_0} = \frac{\pi}{4\beta} \times \sum_i \operatorname{res} \left[\frac{e^{\varepsilon z}}{\sin(\pi z/\beta) \operatorname{sh}(\hbar\omega_1 z/2) \operatorname{sh}(\hbar\omega_2 z/2)}, z_k \right]. \quad (17)$$

Подынтегральная функция в (16) имеет полюс третьего порядка в нуле и в случае несоизмеримых частот простые полюсы в точках $z_i = \{2\pi ni/\hbar\omega_1, 2\pi mi/\hbar\omega_2, k\beta\}$, $n, m = 0, \pm 1, \pm 2, \dots$, $k = -1, -2, \dots$

После простых, но довольно громоздких вычислений найдем

$$\begin{aligned} \frac{G(T=0)}{G_0} &= \frac{1}{6\omega_1\omega_2} \left[\frac{3(E-V_0)^2}{\hbar^2} + \frac{\Omega^2 - \omega_1^2 - \omega_2^2}{4} \right] + \\ &+ \sum_{k=1}^{\infty} (-1)^k \frac{\exp[-2\pi k(E-V_0)/\hbar\Omega]}{4 \operatorname{sh}(\pi k\omega_1/\Omega) \operatorname{sh}(\pi k\omega_2/\Omega)} + \\ &+ \frac{\Omega}{2} \sum_{n=1}^{\infty} (-1)^{n+1} \left[\frac{1}{\omega_1} \frac{\cos[2\pi n(E-V_0)/\hbar\omega_1]}{\sin(\pi n\omega_2/\omega_1) \operatorname{sh}(\pi n\Omega/\omega_1)} + \right. \\ &\left. + \frac{1}{\omega_2} \frac{\cos[2\pi n(E-V_0)/\hbar\omega_2]}{\sin(\pi n\omega_1/\omega_2) \operatorname{sh}(\pi n\Omega/\omega_2)} \right]. \quad (18) \end{aligned}$$

Выражение (18) теряет смысл при соизмеримых значениях гибридных частот (в этом случае некоторые из полюсов, лежащих на мнимой оси, имеют кратность больше единицы). Однако, поскольку вещественное число с вероятностью единица иррационально, ниже будем считать, что частоты ω_1 и ω_2 несоизмеримы. Отметим, что даже для несоизмеримых частот вопрос о сходимости рядов Фурье в (18) должен исследоваться отдельно, так как входящие в знаменатель множители $\sin(\pi n\omega_2/\omega_1)$ и $\sin(\pi n\omega_1/\omega_2)$ могут быть малыми. Эта проблема аналогична проблеме малых знаменателей в небесной механике [13].

Используя подход, основанный на теории Колмогорова—Арнольда—Мозера [13], можно показать, что ряды в (18) сходятся равномерно, если для

частот выполняется диофантово условие несоизмеримости (это условие реализуется с вероятностью единица).

Для нахождения температурной зависимости кондактанса микросужения воспользуемся формулами (6) и (18). После несложных вычислений получим

$$\frac{G(T)}{G_0} = G^{mon} + G^{osc}. \quad (19)$$

Здесь

$$\begin{aligned} G^{mon} &= \frac{1}{6\omega_1\omega_2} \left[\left(\frac{\Omega^2 - \omega_1^2 - \omega_2^2}{4} + \frac{3V_0^2}{\hbar^2} \right) \times \right. \\ &\times \left[1 + \exp\left(-\frac{\mu}{T}\right) \right]^{-1} - \frac{6V_0T}{\hbar^2} F_0\left(\frac{\mu}{T}\right) + \frac{6T^2}{\hbar^2} F_1\left(\frac{\mu}{T}\right) \left. \right] + \\ &+ \sum_{k=1}^{\infty} (-1)^k \frac{\exp[-2\pi k(\mu - V_0)/\hbar\Omega]}{4 \operatorname{sh}(\pi k\omega_1/\Omega) \operatorname{sh}(\pi k\omega_2/\Omega)} \times \\ &\times \left(1 + \frac{2}{3} \frac{\pi^4 k^2 T^2}{\hbar^2 \Omega^2} \right), \end{aligned}$$

$$\begin{aligned} G^{osc} &= \frac{\pi^2 \Omega T}{\hbar \omega_1^2} \sum_{n=1}^{\infty} (-1)^{n+1} \times \\ &\times \left[\frac{n \cos[2\pi n(\mu - V_0)/\hbar\omega_1]}{\operatorname{sh}(2\pi^2 nT/\hbar\omega_1) \sin(\pi n\omega_2/\omega_1) \operatorname{sh}(\pi n\Omega/\omega_1)} + \right. \\ &\left. + \frac{\omega_1^2}{\omega_2^2} \frac{n \cos[2\pi n(\mu - V_0)/\hbar\omega_2]}{\operatorname{sh}(2\pi^2 nT/\hbar\omega_2) \sin(\pi n\omega_1/\omega_2) \operatorname{sh}(\pi n\Omega/\omega_2)} \right], \end{aligned}$$

где F_0 и F_1 — интегралы Ферми.

Формула (19) дает разложение кондактанса сужения в ряд Фурье. Ряд Фурье в (19) дает осциллирующую часть кондактанса, а первое слагаемое дает монотонную часть кондактанса. Эта формула является в некотором смысле аналогом формулы Ландау для магнитного отклика электронного газа, которая описывает эффект де Гааза—Ван Альфена. Графики, построенные по формуле (19) для различных углов φ и θ , показаны на рис. 2 и 3.

В отличие от стартовых формул (6) и (7), использованных в [7] для численного анализа, формула (19) пригодна для аналитического исследования кондактанса. В частности, из нее видно, что роль эффективной длины сужения в магнитном поле (определяемой через частоту Ω) полностью аналогична роли температуры. С уменьшением эффективной длины сужения (с ростом Ω) ступени квантования размываются сильнее и в конце концов могут исчезнуть совсем.

Как следует из (19), осциллирующая часть кондактанса G^{osc} имеет максимумы в точках где $\mu - V_0 = \hbar\omega_{1,2}(n + 1/2)$. Эти максимумы обусловлены пересечением уровней E_{nm} с энергией

$\mu - V_0$ и являются проявлением аналога эффекта Шубникова—де Гааза в кондактансе.

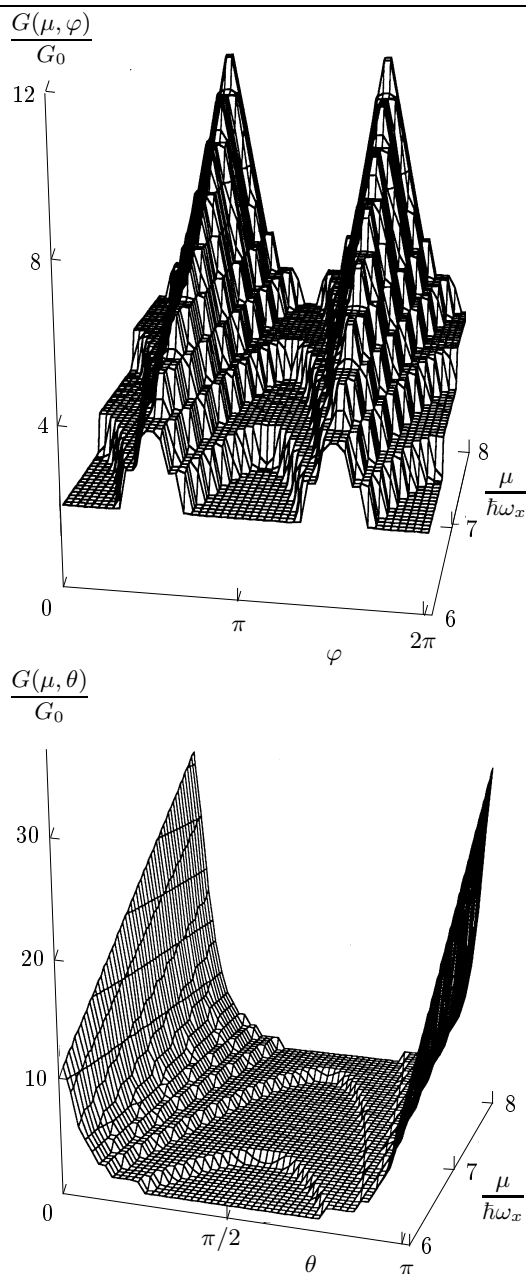


Рис. 2. Зависимости кондактанса от химического потенциала $\mu = E$ и от направления магнитного поля, задаваемого полярным φ и азимутальным θ углами; $\omega_x = 1.61 \cdot 10^{13} \text{ с}^{-1}$, $\omega_y = 0.61 \cdot 10^{13} \text{ с}^{-1}$, $\omega_x/\omega_z = 20$, $B = 25 \text{ Тл}$, $V_0 = 0.6 \cdot 10^{-13} \text{ эрг}$, $\varphi_0, \theta_0 = \pi/5.578$, $T = 0.5 \text{ К}$

4. АНАЛИТИЧЕСКОЕ ИССЛЕДОВАНИЕ КРИВОЙ КОНДАКТАНСА

Монотонная часть кондактанса G^{mon} , как следует из (18) и (19), имеет почти параболическую (при $T \neq 0$) форму. Осциллирующая часть состоит из почти треугольных пиков, сглаженных за счет тем-

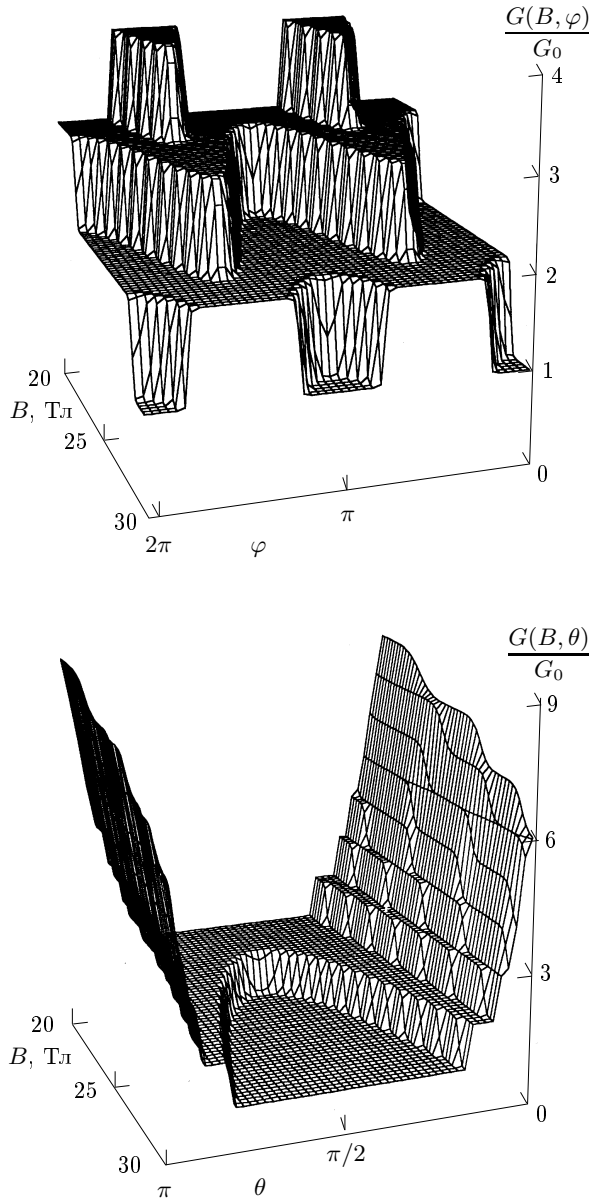


Рис. 3. Зависимости кондактанса от величины B и от направления магнитного поля, задаваемого полярным φ и азимутальным θ углами; $\omega_x = 1.61 \cdot 10^{13} \text{ с}^{-1}$, $\omega_y = 1 \cdot 10^{13} \text{ с}^{-1}$, $\omega_x/\omega_z = 20$, $\mu = 1.05 \cdot 10^{-13} \text{ эрг}$, $V_0 = 0.5 \cdot 10^{-13} \text{ эрг}$, $\varphi_0, \theta_0 = \pi/5.578$, $T = 0.5 \text{ К}$

пературы и конечности длины сужения. Сложение этих двух кривых и дает ступенчатую структуру кривой $G(\mu)$. Интересно отметить следующее. Сглаживание G^{osc} при $T \neq 0$ определяется произведением двух множителей, $\text{sh}(2\pi^2 nT/\hbar\omega_j) \text{sh}(\pi n\Omega/\omega_j)$, каждый из которых оказывает влияние на форму осцилляций. Однако если длина сужения доста-

точно велика, то рост первого множителя с температурой может компенсироваться малостью второго в такой степени, чтобы квантование кондактанса наблюдалось и при достаточно высоких температурах. Таким образом, формула (19) позволяет, по-видимому, объяснить возможность наблюдения квантования кондактанса в $3D$ -сужениях даже при достаточно высоких температурах, о которых сообщалось в [5, 6, 8].

4.1. Продольное поле

В этом случае гибридные частоты ω_j имеют вид [7]

$$\omega_{1,2} = \frac{1}{2} \left[\sqrt{\omega_c^2 + (\omega_x + \omega_y)^2} \pm \sqrt{\omega_c^2 + (\omega_x - \omega_y)^2} \right], \quad \Omega = \omega_z. \quad (20)$$

В простейшем случае, когда сечение симметрично, а магнитное поле слабо, $\omega_c \ll \omega_x = \omega_y = \omega_0$, эти частоты с точностью до членов порядка $O(\omega_c/\omega_0)$ можно представить в виде $\omega_{1,2} \sim \omega_0 \pm \omega_c/2$. Введем эффективный радиус сечения по формуле

$$\mu - V_0 = \frac{m^* \omega_1 \omega_2 R_{eff}^2}{2}. \quad (21)$$

Поток магнитного поля через сечение с этим радиусом равен $\Phi = \pi B R_{eff}^2$. Следовательно, $\mu - V_0 = (\hbar \omega_1 \omega_2 / \omega_c) \Phi / \Phi_0$, где $\Phi_0 = 2\pi \hbar c / e$ — квант магнитного потока. Поэтому

$$\frac{\mu - V_0}{\hbar \omega_{1,2}} = \frac{m^* \omega_0 R_{eff}^2}{2\hbar} \mp \frac{\Phi}{2\Phi_0}. \quad (22)$$

Подставляя (22) в (19) и отбрасывая члены высшего порядка малости по ω_c/ω_0 (учитывая, что $\omega_1/\omega_2 \simeq 1 + \omega_c/\omega_0$, $\omega_2/\omega_1 \simeq 1 - \omega_c/\omega_0$), получим для осциллирующей части кондактанса $3D$ -сужения выражение

$$\frac{G^{osc}}{G_0} \simeq \frac{2\pi^2 \Omega T}{\hbar \omega_0^2} \times \sum_{n=1}^{\infty} \frac{n \sin(m\omega_0 R_{eff}^2 \pi n / \hbar) \sin(\pi n \Phi / \Phi_0)}{\sin(\pi n \omega_c / \omega_0) \text{sh}(2\pi^2 nT / \hbar \omega_0) \text{sh}(\pi n \Omega / \omega_0)}. \quad (23)$$

Как видно из (23), кондактанс испытывает в этом случае осцилляции типа Ааронова—Бома. Если не учитывать слабой зависимости коэффициентов Фурье от магнитного поля (осцилляции почти периодические), то период будет равен двум квантам потока (рис. 4а).

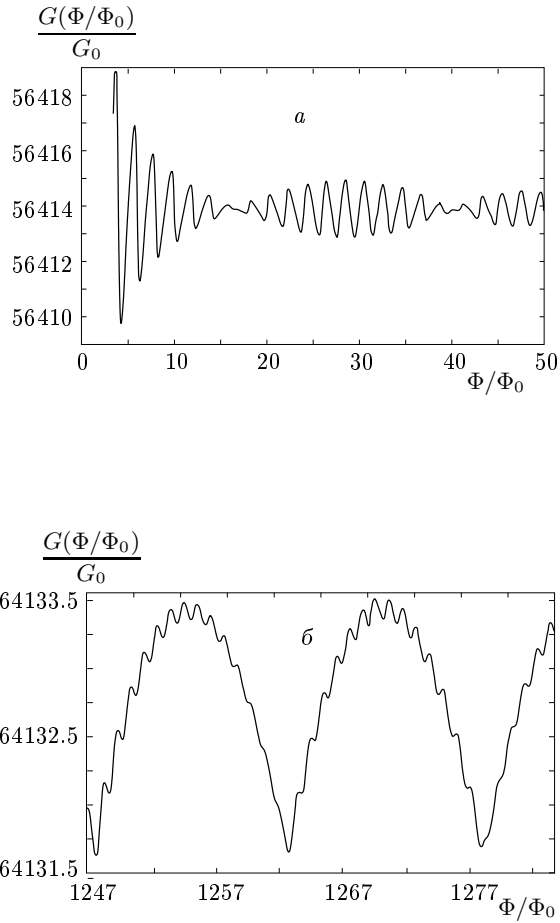


Рис. 4. Зависимости кондактанса от магнитного потока Φ/Φ_0 в случаях слабого (а) и сильного (б) продольно ориентированных магнитных полей; $\omega_x = 0.161 \cdot 10^{13} \text{ c}^{-1}$, $\omega_y = 0.161 \cdot 10^{13} \text{ c}^{-1}$, $\omega_x/\omega_z = 20$, $\mu = 6.2 \cdot 10^{-13} \text{ эрг}$, $V_0 = 0.5 \cdot 10^{-13} \text{ эрг}$, $T = 0.6 \text{ К}$

В случае сильного поля ($\omega_c \gg \omega_0$) для симметричной структуры из (20) следует оценка $\omega_1 \simeq \omega_c$, $\omega_2 = \omega_0^2/\omega_c \ll \omega_1$. При этом второе слагаемое в осциллирующей части (19) из-за большой величины $\text{sh}(2\pi^2 nT/\hbar\omega_2)$ становится значительно меньше первого, и им можно пренебречь. Тогда основной вклад в G^{osc} дает первое слагаемое с числителем $\propto \cos[2\pi n(\mu - V_0)/\hbar\omega_c]$. Это слагаемое дает осцилляции Шубникова—де Гааза в кондактансе с большой частотой и с периодом по обратному магнитному полю $\Delta(1/B) = e\hbar/m^*c(\mu - V_0)$. Для доказательства существования осцилляций Ааронова—Бома в области сильных ($\omega_c \gg \omega_0$) магнитных полей введем число квантов потока $\eta = \Phi/\Phi_0$ в формулу для осциллирующей части кондактанса (19). Тогда по-

лучим

$$\frac{G^{osc}}{G_0} = \frac{\pi^2 \Omega T}{\hbar \omega_1^2} \sum_{n=1}^{\infty} (-1)^{n+1} n \times \left\{ \frac{\cos(2\pi n \eta \omega_2 / \omega_c)}{\sin(\pi n \omega_2 / \omega_1) \text{sh}(2\pi^2 n T / \hbar \omega_1) \text{sh}(\pi n \Omega / \omega_1)} + \frac{\omega_1^2}{\omega_2^2} \frac{\cos(2\pi n \eta \omega_1 / \omega_c)}{\sin(\pi n \omega_1 / \omega_2) \text{sh}(2\pi^2 n T / \hbar \omega_2) \text{sh}(\pi n \Omega / \omega_2)} \right\}. \quad (24)$$

Гиперболические синусы, стоящие в знаменателях в этой формуле, дают только размытие осцилляционных пиков, поэтому ниже мы ограничимся рассмотрением поведения двух функций:

$$f(\eta) = \frac{\cos(2\pi n \eta \omega_2 / \omega_c)}{\sin(\pi n \omega_2 / \omega_1)}, \quad (25)$$

$$g(\eta) = \frac{\cos(2\pi n \eta \omega_1 / \omega_c)}{\sin(\pi n \omega_1 / \omega_2)}.$$

Далее мы покажем, что именно эти множители дают осцилляции каждого члена ряда в (24). Приравняем нулю производную по числу квантов потока η от этих множителей и найдем уравнения для точек экстремумов функций $f(\eta)$ и $g(\eta)$, учитывая, что частоты несоизмеримы, $\sin(\pi n \omega_1 / \omega_2) \neq 0$ и $\sin(\pi n \omega_2 / \omega_1) \neq 0$, тогда

$$\begin{aligned} \sin(2\pi n \eta \omega_1 / \omega_c) \sin(\pi n \omega_1 / \omega_2) &= \\ &= (-\omega_c / \eta \omega_2) \cos(2\pi n \eta \omega_2 / \omega_c) \cos(\pi n \omega_2 / \omega_1), \quad (26) \\ \sin(2\pi n \eta \omega_2 / \omega_c) \sin(\pi n \omega_2 / \omega_1) &= \\ &= (-\omega_c / \eta \omega_1) \cos(2\pi n \eta \omega_1 / \omega_c) \cos(\pi n \omega_1 / \omega_2). \end{aligned}$$

Учтем, что $\omega_c / \eta \omega_1 = \hbar \omega_2 / \mu - V_0$ и $\omega_c / \eta \omega_2 = \hbar \omega_1 / \mu - V_0$. Отсюда следует, что в формуле (26) $\sin(2\pi n \eta \omega_{1,2} / \omega_c) \ll 1$. Тогда имеем оценку для точек экстремумов:

$$\begin{aligned} \sin(2\pi n \eta \omega_2 / \omega_c) &\approx 0, \\ \sin(2\pi n \eta + 2\pi n \eta \omega_2 / \omega_c) &\approx 0. \end{aligned} \quad (27)$$

При получении (27) учтено, что $\omega_1 = \omega_2 + \omega_c$ и частоты ω_1 и ω_2 несоизмеримы. Первое из соотношений (27) дает в точках экстремумов

$$\frac{\mu - V_0}{\hbar \omega_1} = N, \quad N = 1, 2, \dots \quad (28)$$

Поскольку в области сильных полей $\omega_1 \approx \omega_c$, эти экстремумы соответствуют осцилляциям Шубникова—де Гааза в кондактансе. Эти осцилляции обусловлены вторым слагаемым в фигурных скобках (24).

Рассмотрим вблизи экстремумов осцилляций Шубникова—де Гааза, $\omega_2\eta/\omega_c = N$, второе из соотношений (27). Из него следует, что при целых значениях η также имеются экстремумы, которые соответствуют осцилляциям малого первого слагаемого в осциллирующей части (24). Расстояние между соседними максимумами в этом случае равно кванту потока ($\Delta\eta = 1$). Вдали от экстремумов осцилляций Шубникова—де Гааза эти осцилляции также имеют место, но периодичность по потоку разрушается. Таким образом, первый ряд в (24) дает осцилляции Ааронова—Бома в кондактансе. Отметим, что, как следует из (24), величина амплитуды этих осцилляций в ω_1^2/ω_z^2 раз меньше, чем амплитуда осцилляций Шубникова—де Гааза, поэтому с ростом поля амплитуды осцилляций Ааронова—Бома уменьшаются как B^2 , и для достаточно сильных полей эти осцилляции полностью размываются температурой. Осцилляции Ааронова—Бома, таким образом, накладываются на осцилляции Шубникова—де Гааза и дают тонкую структуру максимумов (рис. 4б).

4.2. Поперечное поле

В случае поперечного магнитного поля $\omega_2 = \omega_0$, поэтому второй из рядов в общем выражении (19) для кондактанса не дает осцилляций по магнитному полю в кондактансе. Если магнитное поле \mathbf{B} слабо ($\omega_c \ll \omega_0$), то, как показано в [7], частоты ω_1 и Ω удовлетворяют равенствам

$$\begin{aligned}\omega_1 &= \omega_0 + O\left(\frac{\omega_c^2}{\omega_0^2 + \omega_z^2}\right), \\ \Omega &= \omega_z + O\left(\frac{\omega_c^2}{\omega_0^2 + \omega_z^2}\right).\end{aligned}\quad (29)$$

В связи с тем что $\omega_1 \approx \omega_0$, осцилляции по полю первого из рядов в (19) очень малы и размываются температурой. В сильном магнитном поле $\omega_1 \simeq \omega_c$, $\Omega \simeq \omega_z\omega_0/\omega_c$ [7], поэтому осцилляций Ааронова—Бома в этом случае нет, а осцилляции Шубникова—де Гааза малы (их амплитуды в ω_0^2/ω_c^2 раз меньше, чем в случае продольного поля) и также размываются температурой. Отметим, что с ростом поля уменьшается величина Ω , а следовательно, увеличивается эффективная длина $l_{eff} = \sqrt{\hbar/m^*}\Omega$ сужения [7]. Как следует из (19), при этом уменьшаются с ростом поля множители $\text{sh}(\pi n\Omega/\omega_j)$, $j = 1, 2, \dots$, и, следовательно, уменьшается сглаживание осциллирующей части кондактанса в (19), происходящее за счет конечности длины сужения. Таким образом,

сильное поперечное магнитное поле улучшает ступенчатую структуру кривой квантования кондактанса $G(\mu)/G_0$.

Отметим, что в слабом поле кривая $G(\mu)/G_0$ очень схожа с кривой в отсутствие поля, когда частоты ω_x и ω_y близки друг к другу, но не равны между собой. Это связано с тем, как отмечалось во Введении, что при $\omega_x = \omega_y = \omega_0$ высота ступеней квантования кондактанса пропорциональна кратности вырождения уровней, а слабое магнитное поле приводит к небольшой эффективной асимметрии сужения и снимает это вырождение (высота ступеней становится равной кванту кондактанса).

4.3. Эффекты, связанные с изменением направления поля

Как следует из графиков на рис. 1, величины частот ω_1, ω_2 и Ω зависят от ориентации поля \mathbf{B} относительно осей симметрии микросужения (углов θ и φ). В связи со сказанным выше ясно, что при изменении углов θ и φ (при постоянной величине $|\mathbf{B}|$) изменяется характер транспортного режима электронов в сужении.

На рис. 2 и 3 показаны зависимости $G(\varphi)/G_0$ и $G(\theta)/G_0$, в которых проявляется ступенчатая структура кондактанса.

В области слабых магнитных полей ($\omega_c^2 \ll \omega_x^2, \omega_y^2, \omega_z^2$) можно найти явную зависимость частот $\omega_{1,2}$ и Ω от углов θ и φ . Для этого положим в уравнении (11) $\xi_{1,2} = -\omega_{x,y}^2 + \varepsilon_{1,2}$ и $\xi_3 = \omega_z^2 + \varepsilon_3$. Используя известную связь между коэффициентами и корнями кубического уравнения и отбрасывая малые члены порядка ε_j^2 и ε_j^3 , получим систему линейных уравнений для нахождения ε_j . Отметим, что пренебрегать членами порядка ε_j^2 нельзя, если $\omega_x \approx \omega_y$.

Система уравнений для нахождения ε_j имеет вид

$$\begin{aligned}\varepsilon_1 + \varepsilon_2 + \varepsilon_3 &= \omega_c^2, \\ \varepsilon_1\omega_z^2\omega_y^2 + \varepsilon_2\omega_z^2\omega_x^2 - \varepsilon_3\omega_x^2\omega_y^2 &= 0, \\ (\omega_z^2 - \omega_y^2)\varepsilon_1 + (\omega_z^2 - \omega_x^2)\varepsilon_2 - (\omega_x^2 - \omega_y^2)\varepsilon_3 &= a,\end{aligned}\quad (30)$$

где $a = \omega_{cx}^2\omega_x^2 + \omega_{cy}^2\omega_y^2 - \omega_{cz}^2\omega_z^2$. Решением этой системы является $\varepsilon = \Delta_j/\Delta$, $j = 1, 2, 3$, где

$$\begin{aligned}\Delta &= -(\omega_x^2 + \omega_y^2)\omega_z^4 - (\omega_x^2 + \omega_z^2)\omega_y^4 - (\omega_y^2 + \omega_z^2)\omega_x^4, \\ \Delta_1 &= -\omega_x^2(\omega_y^2 + \omega_z^2)(\omega_c^2\omega_x^2 + a), \\ \Delta_2 &= \omega_y^2(\omega_x^2 + \omega_z^2)(\omega_c^2\omega_y^2 + a), \\ \Delta_3 &= \omega_z^2(\omega_x^2 - \omega_y^2)(\omega_c^2\omega_z^2 + a).\end{aligned}\quad (31)$$

Из сказанного выше вытекает оценка

$$\begin{aligned} \omega_1 &= \sqrt{\left| \omega_x^2 - \frac{\Delta_1}{2\Delta} \right|}, \\ \omega_2 &= \sqrt{\left| \omega_y^2 - \frac{\Delta_2}{2\Delta} \right|}, \\ \Omega &= \sqrt{\left| \omega_z^2 + \frac{\Delta_3}{2\Delta} \right|}. \end{aligned} \quad (32)$$

Отметим, что Δ не зависит от углов θ и φ , а зависимость от углов в Δ_j определяется величиной a , которая зависит от углов по формуле

$$a = (\omega_x^2 \cos^2 \varphi \sin^2 \theta + \omega_y^2 \sin^2 \varphi \sin^2 \theta - \omega_z^2 \cos^2 \theta) \omega_c^2. \quad (33)$$

В случае сильного поля ($\omega_x^2, \omega_y^2, \omega_z^2 \ll \omega_c^2$) уравнение (11) удобно записать в виде

$$\xi^3 + a\xi^2 + b\xi = \varepsilon, \quad (34)$$

где

$$\begin{aligned} a &= \omega_c^2 + \omega_x^2 + \omega_y^2 - \omega_z^2, \quad \varepsilon = \omega_x^2 \omega_y^2 \omega_z^2, \\ b &= \omega_x^2 \omega_y^2 - \omega_y^2 \omega_z^2 - \omega_x^2 \omega_z^2 + \omega_{cx}^2 \omega_x^2 + \omega_{cy}^2 \omega_y^2 - \omega_{cz}^2 \omega_z^2, \end{aligned} \quad (35)$$

и $a \gg b \gg \varepsilon$. Решение уравнения (34) можно найти асимптотическими методами, используя ряд Бурмана—Лагранжа. Тогда

$$\begin{aligned} \omega_1 &= \sqrt{a - \frac{b}{a}} + O(\varepsilon), \quad \omega_2 = \sqrt{\frac{|b|}{a}} + O(\varepsilon), \\ \Omega &= \sqrt{\frac{\varepsilon}{|b|}} + O(\varepsilon^2). \end{aligned} \quad (36)$$

В формуле (36) от углов зависит только величина b :

$$b = \omega_x^2 \omega_y^2 - \omega_x^2 \omega_z^2 - \omega_y^2 \omega_z^2 + (\omega_x^2 \cos^2 \varphi \sin^2 \theta + \omega_y^2 \sin^2 \varphi \sin^2 \theta - \omega_z^2 \cos^2 \theta) \omega_c^2. \quad (37)$$

Заметим, что численные решения уравнения (11) хорошо согласуются с (32) в области слабых полей и с (36) в области сильных полей.

5. ВЫВОДЫ

Аналитическое исследование кондактанса микросужения, помещенного в произвольно направленное магнитное поле, проведенное в данной работе, объясняет различные транспортные режимы

микросужения. При любой ориентации поля зависимость $G(\mu)$ имеет ступенчатую структуру. Высота каждой ступени равна кванту кондактанса. Температура и конечность длины микросужения приводят к смазыванию порогов ступеней. При этом, как следует из (19), величина $\hbar\Omega/2\pi$ играет точно такую же роль, что и температура.

В достаточно длинных сужениях (малая частота Ω) множители, характеризующие размазку порогов ступеней за счет температуры и конечной длины сужения, могут компенсировать друг друга. Этот эффект может приводить к ступенчатой структуре кондактанса даже при относительно высоких температурах. Ступенчатая структура кривой кондактанса $G(\mu)$ обусловлена сложением почти параболической монотонной части $G^{mon}(\mu)$ и состоящей из почти треугольных пиков осциллирующей части кондактанса $G^{osc}(\mu)$.

В произвольно ориентированном магнитном поле гибридные частоты $\omega_1, \omega_2, \Omega$ зависят от углов ориентации поля \mathbf{B} относительно осей симметрии системы. Для случаев слабого и сильного полей найден явный вид этих зависимостей в разд. 4. Эти зависимости приводят к эффекту квантования кондактанса (рис. 3).

В случае продольного магнитного поля зависимость кондактанса от величины поля имеет осциллирующий характер. При этом транспортные режимы для слабого и сильного магнитных полей различны. Так, в слабом поле имеются осцилляции Ааронова—Бома с периодом равным двум квантам потока. Эти осцилляции хорошо проявляются в длинных сужениях (рис. 4а). В случае сильного поля осцилляции Ааронова—Бома также имеют место. Их период, однако, равен одному кванту потока. В сильном поле имеются также осцилляции Шубникова—де Гааза с периодом по обратному полю $\Delta(1/B) = e\hbar/m^*c(\mu - V_0)$. Осцилляции Шубникова—де Гааза имеют амплитуду в ω_1^2/ω_2^2 раз большую, чем осцилляции Ааронова—Бома. С ростом поля амплитуда осцилляций Ааронова—Бома уменьшается как B^2 , и в области достаточно сильных полей они полностью размываются температурой. Осцилляции Ааронова—Бома в области сильных полей накладываются на осцилляции Шубникова—де Гааза и дают тонкую структуру максимумов этих осцилляций (рис. 4б).

Для случая слабого поперечного поля осцилляции по магнитному полю очень малы и легко размываются температурой и рассеянием, которое определяется эффективной длиной микросужения. В сильном поперечном поле осцилляций типа Ааронова—

Бома нет, а осцилляции Шубникова—де Гааза малы, так как их амплитуда в ω_1^2/ω_2^2 раз меньше, чем в случае продольного поля. С ростом поля в этом случае увеличивается эффективная длина микросужения и, следовательно, ухудшается ступенчатая структура кривой $G(\mu)$.

ПРИЛОЖЕНИЕ

Рассмотрим преобразование Фурье функции $\varphi(t) = f(t)e^{xt}$:

$$\varphi(t) = \frac{1}{2\pi} \int_{-\infty}^{\infty} d\xi \int_{-\infty}^{\infty} \varphi(\eta) e^{i\xi(t-\eta)} d\eta. \quad (\text{П.1})$$

Представим (П.1) в виде

$$f(t)e^{xt} = \frac{1}{2\pi} \int_{-\infty}^{\infty} d\xi e^{i\xi t} \int_{-\infty}^{\infty} f(\eta) e^{(x-i\xi)\eta} d\eta. \quad (\text{П.2})$$

Введем $p = x - i\xi$, тогда

$$f(t)e^{xt} = \frac{1}{2\pi} \int_{-\infty}^{\infty} d\xi e^{i\xi t} \int_{-\infty}^{\infty} f(\eta) e^{p\eta} d\eta. \quad (\text{П.3})$$

Обозначим

$$\int_{-\infty}^{\infty} f(\eta) e^{p\eta} d\eta = F(p). \quad (\text{П.4})$$

Тогда

$$\begin{aligned} f(t) &= \frac{1}{2\pi} \int_{-\infty}^{\infty} d\xi e^{-t(x-i\xi)} F(p) = \\ &= \frac{1}{2\pi i} \int_{x-i\infty}^{x+i\infty} dp e^{-pt} F(p). \end{aligned} \quad (\text{П.5})$$

Из (П.5) следует, что

$$f(t) = \frac{1}{2\pi i} \int_{x-i\infty}^{x+i\infty} e^{-pt} F(p) dp, \quad (\text{П.6})$$

где функция $F(p)$ определена формулой (П.4). Выражение (П.6) является аналогом преобразования Меллина. Используя соотношение [16]

$$\int_{-\infty}^{\infty} \frac{e^{px}}{1+e^x} dx = \frac{\pi}{\sin \pi p}, \quad 0 < \text{Re } p < 1 \quad (\text{П.7})$$

и формулы (П.4) и (П.6), получим формулу (13) из разд. 3:

$$\frac{1}{1+e^x} = \frac{1}{2\pi i} \int_{\alpha-i\infty}^{\alpha+i\infty} \frac{\pi}{\sin \pi p} e^{-px} dp, \quad (\text{П.8})$$

где $\alpha = \text{Re } p$.

Работа поддержана грантами Российского фонда фундаментальных исследований и Министерства образования.

ЛИТЕРАТУРА

1. U. Landman, W. D. Luedtke, N. A. Burnham, and R. J. Colton, *Science* **248**, 454 (1990).
2. Е. Н. Богачек, А. М. Загоскин, И. О. Кулик, *ФНТ* **16**, 1404 (1990).
3. J. A. Torres, J. I. Pascual, and J. J. Saenz, *Phys. Rev. B* **49**, 16581 (1994).
4. E. N. Bogachek, M. Jonson, R. I. Shekhter, and T. Swahn, *Phys. Rev. B* **47**, 16635 (1993); **50**, 18341 (1994).
5. J. I. Pascual, J. Mendez, J. Gomez-Herrero, A. M. Baro, N. Garcia, and Vu Thien Binh, *Phys. Rev. Lett.* **71**, 1852 (1993).

6. J. I. Pascual, J. Mendez, J. Gomez-Herrero, A. M. Baro, N. Garcia, U. Landman, W. D. Luedtke, E. N. Bogachek, and H.-P. Cheng, *Science* **267**, 1793 (1995); *J. Vac. Sci. Technol. B* **13**, 1280 (1995).
7. A. G. Scherbakov, E. N. Bogachek, and Uzi Landman, *Phys. Rev. B* **53**, 4054 (1996).
8. L. Olesen, E. Laegsgaard, I. Stensgaard, F. Besenbacher, J. Schiotz, P. Stoltze, K. W. Jacobsen, and J. N. Norskov, *Phys. Rev. Lett.* **72**, 2251 (1994).
9. N. Agrait, J. G. Rodrigo, and S. Vieira, *Phys. Rev. B* **47**, 12345 (1993).
10. M. Büttiker, *Phys. Rev. B* **40**, 7906 (1990).
11. M. Büttiker, *Semicond. Semimet.* **35**, 19 (1992).
12. Л. Д. Ландау, Е. М. Лифшиц, *Квантовая механика*, Наука, Москва (1989).
13. V. A. Geyler and V. A. Margulis, *Phys. Rev. B* **55**, 2543 (1997).
14. J. Williamson, *Amer. J. Math.* **58**, 141 (1936).
15. Q. P. Li, K. Karai, S. K. Yip, S. Das Sarma, and H. D. Drew, *Phys. Rev. B* **43**, 5151 (1991).
16. А. П. Прудников, Ю. А. Брычков, О. И. Маричев, *Интегралы и ряды*, Наука, Москва (1981).